#### 

УДК 621.378.325

ФИЗИКА

Р. Н. Гюзалян, Р. Б. Костанян, П. С. Погосян

## Влияние резонансного поглощения на фазу лазерного излучения

(Представлено чл.-корр. АН Армянской ССР М Л. Тер-Микаеляном 1/111 1973)

В работе приводятся результаты исследований изменения фазы сильной электромагнитной волны при взаимодействии с резонансной средой двухуровневых атомов. Рассматривается случай, когда длительность падающего излучения  $\Delta T$  значительно больше времени поперечной релаксации  $T_n$ , и намного меньше времени жизни активных атомов  $\tau$ ,  $\tau$ . е  $T_n \ll \Delta T \ll \tau^*$ . При этом фаза излучения  $\varphi$  определяется из следующего уравнения (см. например (1).

$$\frac{\partial \varphi}{\partial x} + \frac{1}{v} \frac{\partial \varphi}{\partial t} = -\frac{\delta}{2} \omega(x, t). \tag{1}$$

где v—скорость излучения в среде,  $v=\frac{2\varepsilon}{\Gamma}$ —величина, показывающая во сколько раз расстройка между частотой падающего излучения и резонансной частотой активных атомов  $\varepsilon$  больше полуширины атомной линин  $\frac{\Gamma}{2}$ ,  $\sigma$ —эффективное поперечное сечение вынужденных переходов между рабочими уровнями,  $\Delta$ —плотность инверсной населенности, определяемая из хорошо известных уравнений баланса ( $^{2,3}$ ).

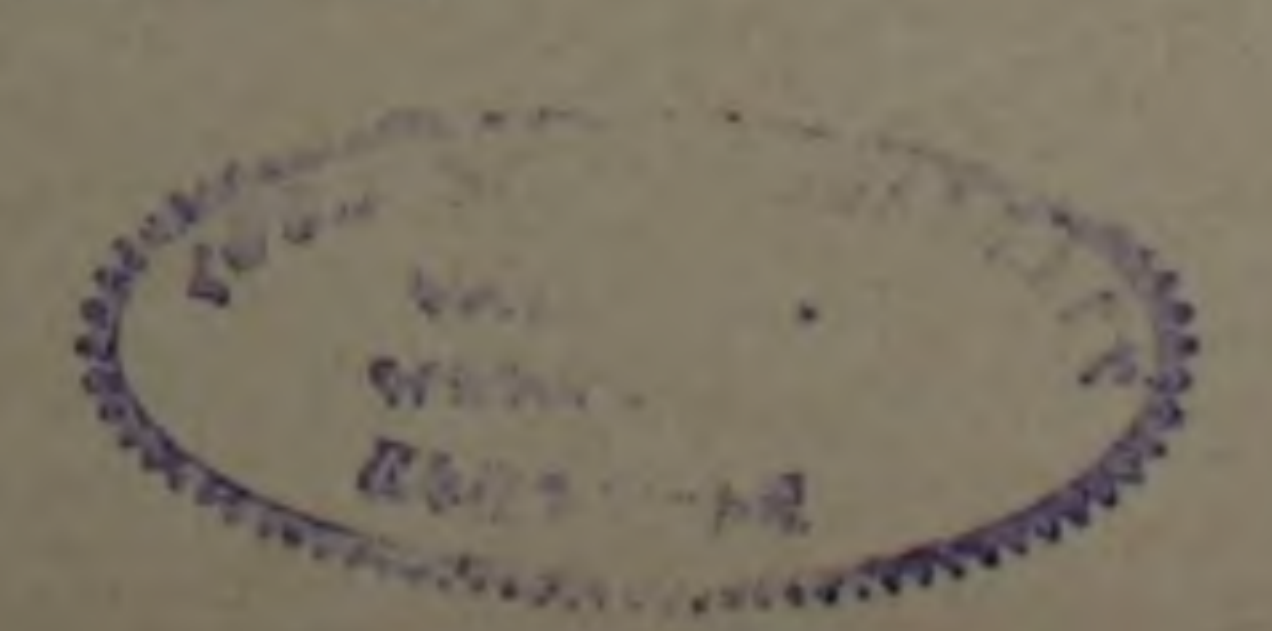
Если значение Д, найденное из уравнений баланса, подставить в (1), то его можно свести к квадратурам. Однако такое решение неудобное, поскольку для каждого конкретного случая необходимо произвести численное интегрирование. Рассмотрим некоторые частные случаи, при которых для р получаются более простые аналитические выражения.

а) При отсутствии перезонансных потерь в среде (3 =0) имеем:

$$\varphi = \varphi_0 + \frac{\sigma}{2} \ln \left[ 1 + (e^{-\sigma \Delta_0 r} - 1) \cdot e^{-\frac{2\sigma}{3}} \right]$$
 (2)

где  $\phi_0$ —значение фазы при x=0,  $I_{\rm nx}$ —интенсивность излучения

<sup>\*</sup> Это условне экспериментально можно осуществить для твердотельных сред. Так, например, в рубине  $T_n \sim 10^{-12} ce\kappa$ ,  $= 3 \cdot 10^{-3} ce\kappa$ .



(число фотонов, проходящих, через единицу поверхности в единицу времени) на входе образца,  $\Delta_0$ —начальная перенаселенность.

б) При  $2\pi \int Idt \ll 1$  (динейный режим), для  $\varphi$  получаем извест-

$$\varphi = \varphi_0 - \frac{\lambda}{2} \circ \Delta_0 x. \tag{3}$$

Таким образом, максимальное изменение фазы за счёт интенсивности падающего излучения достигает величины  $\left|\frac{1}{2}\sigma\Delta_0x\right|$ . Для рубиновых кристаллов, если полагать  $\sigma\Delta_0=0,4cM^{-1}$  и x=8cM получим значение  $|\Delta\phi_{\max}|=1,6$  рад.

в) В случае  $2\sigma \int_{-\infty}^{+\infty} Idt \leqslant 1$  (вблизи режима насыщения),  $\varphi$  опре-

деляется из следующего выражения:

ное выражение:

$$\varphi = \varphi_0 - \frac{\delta}{2} \sigma \Delta_0 x + \delta \ln \left( 1 - b \frac{E_{\text{BX}}}{E_{\text{S}}} \right). \tag{4}$$

В (4) введены следующие обозначения:

$$b = \frac{1}{2} \left( 1 + \frac{q_2}{q_1} \right) \frac{\sigma \Delta_0}{2(\sigma \Delta_0 - \beta)} \left[ 1 - e^{(\sigma \Delta_0 - \beta) r} \right], E_{\text{BX}} = h \omega s I_{\text{BX}}, E_s = \frac{h \omega s}{2\sigma},$$

 $q_1$  и  $q_2$  кратности вырождения энергетических уровней,  $h\omega-$ энергия кванта, s-поперечное сечение пучка.

Найдём вклад изменения фазы излучения в коэффициент преломления среды. Записывая полную фазу в виде:  $\Phi = \omega t - kx + \varphi(x,t)$  и учитывая, что  $v_{\phi} = \frac{c}{n} = \frac{dx}{dt}$  получим:

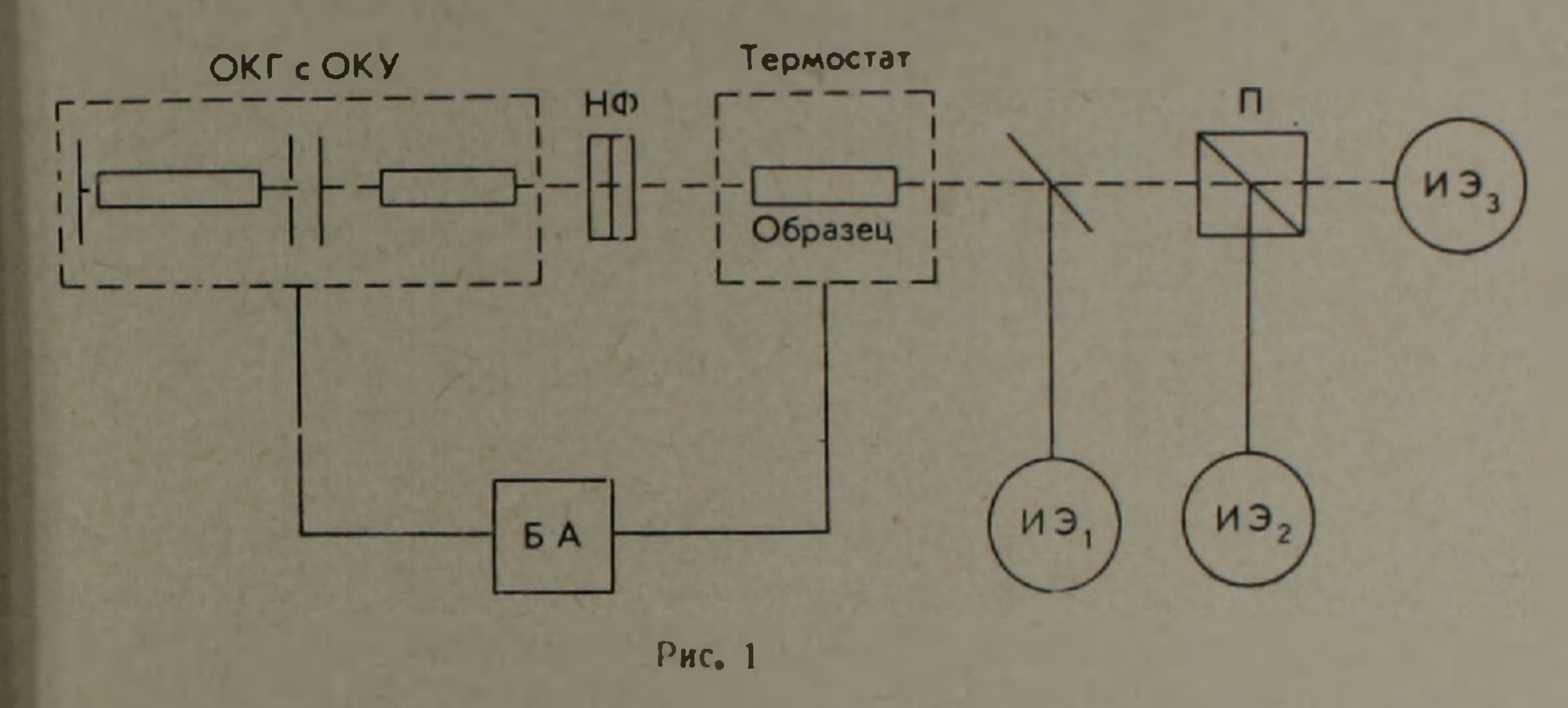
$$v_{\phi} = \frac{\omega + \frac{d\varphi}{dt}}{k - \frac{d\varphi}{dx}}.$$
 (5)

Принимая во внимание, что  $k=\frac{\omega n_0}{c}=\frac{\omega}{v_0}$  ( $v_0$ —скорость света в среде без активных атомов), и кроме того имеют место неравенства  $\frac{d\varphi}{dt}\ll \omega$ ,  $\frac{d\varphi}{dx}\ll k$  из (5) имеем:

$$n - n_0 = \frac{c}{2\omega} \, \hat{a} \circ \Delta \,. \tag{6}$$

Оценки показывают, что максимальное изменение коэффициента преломления для рубиновых образцов порядка 10-6. 146 Зависимость коэффициента преломления от интенсивности может также сильно влиять на пространственное распределение излучения (самофокусировка, расфокусировка) (4-4)

2. Эксперименты проводились на установке, блок-схема которой показана на рис. 1. В качестве источника излучения использован рубиновый генератор, работающий в режиме свободной генерации, с селек-



цией поперечных типов колебаний (мод). Общая длительность импульсов составляла  $10^{-4}$  сек, что более чем на порядок короче времени жизни активных атомов. С целью повышения плотности энергии, излучение от генератора дополнительно усиливалось с помощью оптического квантового усилителя (ОКУ). В качестве исследуемого образца использовался рубиновый кристалл длинною 80 мм. Расстройка между частотой падающего излучения и резонансной частотой активных атомов изменялась при помощи термостата. Температуру в термостате можно было менять от компатной до  $-30^{\circ}$ С, что достаточно для

создания расстройки  $=\frac{1}{2}$ . Был предусмотрен также блок автоматики (БА), работающий синхронно с генератором и позволяющий поддерживать постоянную температуру образца с точностью до 0,01 С.

Энергия падающих импульсов менялась с помощью нейтральных фильтров (НФ), и измерялась калориметром (UЭ<sub>1</sub>). Калориметрами (UЭ<sub>2</sub>) и (UЭ<sub>3</sub>) измерялись энергии на выходе образца. Поляронд П представлял из себя стопу стекол, расположенных под углом Брюстера.

Сущность методики, примепяемой нами для измерения малых

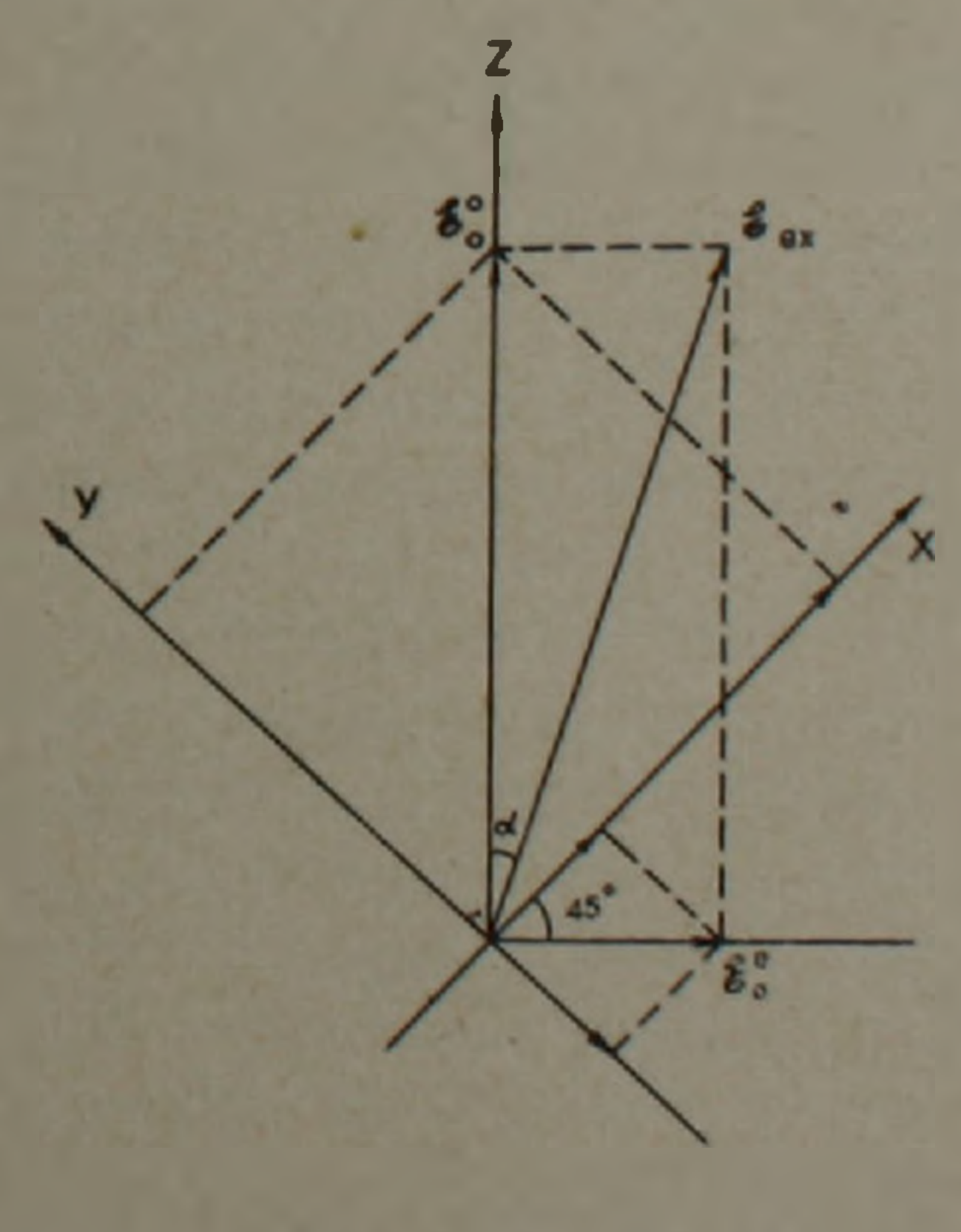


Рис. 2

изменений фазы излучения, заключается в следующем. На образец падает плоско поляризованное излучение, электрическое поле z которого составляет угол z с оптической осью z (рис. 2).

При малых эпергиях входных импульсов, т. е., когда под действием излучения заселенности уровней активных атомов заметно не меняются, изменением угла  $\alpha$  делаются равными интенсивности обыкновенной и необыкновенной волн на выходе. После этого оси эллипса поляризации выходного излучения составляют угол 45 С оптической осью образца z и элипти іность зависит только от разности между фазами обыкновенной и необыкновенной волн. Этой разностью можно варьировать изменением температуры образца. С изменением температуры образца показатели преломления для обыкновенной и необыкновенной воли меняются по разному ( $^{\tau-\theta}$ ), так, что величину  $\frac{2\pi}{\lambda}$  ( $n_0-n_e$ )l можно менять, устанавливая определенную температуру.

Следует отметить, что изменение температуры не более чем на 1,5°C было достаточно для получения максимальной элиптичности. Таким образом, можно было температурой компенсировать разность между фазами обыкновенной и необыкновенной воли, при этом заметно не меняя расстройку между частотой излучения генератора и резонансной частотой активных атомов образца, поскольку расстройка  $\varepsilon = \frac{\Gamma}{2}$  соответствует температуре  $\sim 40$ °C (см. также ( $^{10,11}$ )). Если  $\frac{2\pi}{L}$  ( $n_0 - n_e$ )l делать равным  $2\pi n_e$ , на выходе образца получим линейно

поляризованное излучение.

Ожидалось, что изменением температуры можно менять поляризацию выходного излучения, от линейной до круговой. Однако, как показывали наши исследования, в которых в качестве источника излучения использовался также Не-Ne газовый лазер, поляризация выходного излучения в основном оставалась элиптической, причем элиптичность зависела от качества кристаллов. Поляризацию, близкую к линейной, удалось получить в тех кристаллах, с помощью которых получилась одночастотная генерация, методом, описанным в работе [12]. Дальнейшие измерения проводились на кристалле, с которым можно было получить элиптичность поляризации 1:30, что в пределах точпости наших измерений можно считать линейной. Далее, увеличение интенсивности входных импульсов, приводит к появлению дополнительной разности между фазами обыкновенной и необыкновенной волн за счет нелинейного взаимодействия с резонансной средой, и поляризация выходного излучения меняется. При этом известно, что с рубиновым кристаллом резонансно взаимодействует только обыкновенная волна (13). Возникающее изменение фазы можно найти следующим образом. Если изменением угла и приравнивать интенсивности обыкновенной и необыкновенной воли  $I^o = I^e$  (как это делалось в линейном случае), то получим:

$$\cos \psi = \frac{I_x - I_y}{I_x + I_y} \tag{7}$$

где  $\psi$  разность между фазами обыкновенной и необыкновенной волн,  $I_x$ ,  $I_y$  – интенсивности соответствующих осей элипса поляризации. Таким образом, измерением величин  $I_x$  и  $I_y$  можно определить изменение фазы излучения при нелинейном взаимодействии с резонансной средой.

Если на образец падает импульс излучения, то равенство  $I^o = I^e$  ( $I^o$ ,  $I^e$ —интенсивности обыкновенной и необыкновенной волн соответственно) можно обеспечить только в определённый момент времени, поскольку форма обыкновенной волны меняется при прохождении через резонансную среду.

В экспериментах измерялись величины  $E_x = hos \int_{-\infty}^{\infty} dt$   $E_y =$ 

 $=h \omega s \int_{-\infty}^{\infty} y dt$  (энергия импульсов), предварительно приравнивая энергии обыкновенной и необыкновенной воли ( $E^0 = E^e$ ). В этом случае элиптичность будет меняться в течение импульса, и имеет смысл говорить о некотором среднем значении  $\varphi$ . Если полагать, что при  $E^0 = E^e$  (8)

то для соѕу получим:

$$\overline{\cos\psi} = \frac{E_x - E_y}{E_x + E_y},\tag{9}$$

где  $\cos \psi = \frac{1}{E^{0*}} \int\limits_{0}^{E^{0*}} \cos \psi dE^{0}$ , т. е. измерением величин  $E_{x}$  и  $E_{y}$ , можно

получить среднее по энергии обыкновенной волны значение соз‡.

В означает значение данной величины t

Можно показать, что в случае  $E \leqslant Es$ , приближение (8) вносит пебольшую ощибку в определение  $\cos \psi$ .

Проводились две серии измерений. В одной серии измерений изменением температуры (при малых энергиях выходных импульсов)  $\frac{E_x}{E_y}$  приравнивалось единице, что соответствует начальной круговой поляризации и в другой серии  $\frac{E_x}{E_y}$  делалось максимальным, что соответствует начальной линейной поляризации. После этого измерялись  $E_x$  и  $E_y$  при разных энергиях входного импульса и при разных расстройках между частогой излучения и резонансной частотой активных атомов, предварительно приравняв  $E^0$  к  $E^c$ , для каждого значения энергии входных импульсов.

На рис. З изображен график зависимости  $\cos \gamma$  от энергии входных импульсов  $\left(b\frac{E_{\rm nx}}{E_{\rm s}}\right)$ . Кривые расчетные, а точки соответствуют

экспериментально полученным значениям. В верхней части графика приведены результаты, полученные при b=1 и начальной линейной поляризации в нижней части при начальной круговой поляризации

$$n = 1, \frac{1}{2}, \frac{1}{4}$$

Хотя зависимость изменения фазы излучения от расстройки уже указывает резонансный характер процесса, нами был проведён также контрольный эксперимент, сущность которого заключается в следующем. Изменением температуры достигалась такая разность фаз между обыкновенными и необыкновенными волпами, чтобы нагревание

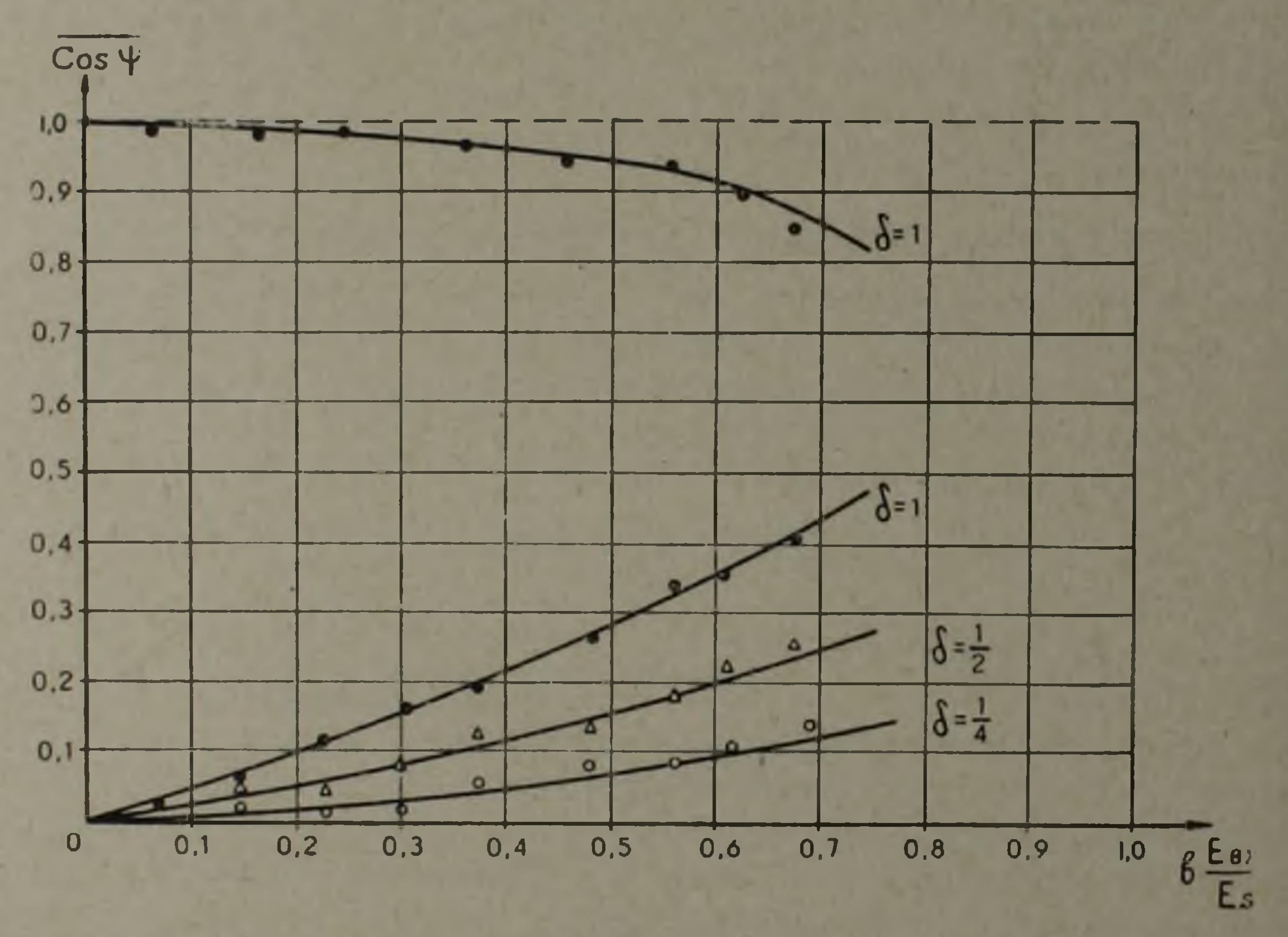


Рис. 3.

приводило к увеличению отношения  $\frac{E_y}{E_x}$ , в то время как резонансное взаимодействие приводило к уменьшению этого отношения

Авторы признательны чл.-корр. АН Армянской ССР М. Л. Тер-Микаеляну за постоянное внимание и ценные обсуждения.

Институт физических исследований Академии наук Армянской ССР

### Ռ. Ն. ԳՅՈՒԶԱԼՅԱՆ, Ռ. Բ. ԿՈՍՏԱՆՅԱՆ, Պ. Ս. ՊՈՂՈՍՅԱՆ

# Ռեզոնանսային կլանման ազդեցությունը լազեբային նառագայթման ֆազի վբա

Հոդվածում բերված է լաղերային մառագայինան ֆաղի վրա ռեղոնանսային կլանման աղդեցուիյան վերաբերյալ տեսական և փորձնական ուսումնասիրուիյան արդյունքները։

ւիովորիած է ձառագայինան ֆաղի և միջավայրի բեկման ցուցիչի մաքսիմալ

Մշակված է փոքր ֆաղային վարտանությունների չափման մեթող։

Բերված է ճառագայինան ֆազի կախումը մուտքային իմպուլսի էներգիայից՝ ընկնող ճառագայինան հաձախուիյան և ակտիվ ատոմների ռեղոնանսային հաճախության միջև եղած տարբեր ապալարքների դեպքում։

Փորձնականորեն ստացված արդյունքները համեմատված են տեսական հաշվարկների հետ։

#### ЛИТЕРАТУРА-ЧРИЧИБИТЕЗИТЬ

1 А. Л. Микаэлян, М. Л. Тер-Микаелян, Ю. Г. Турков Оптические генераторы на твердом теле, "Сов. радно", М., 1967. 2 L. Frantz, Y. Noduck, Appl. phys. 34, 2346 (1967). 3 В. И. Таланов, Изв. Вуз., Радиофизика, т. VII, №3(1964). 4 А. Gavan and Р. L. Kelley, LEEE J. Guantum Electron 2, N9, 470. (1966). 5 D. Grishkovski, Phys. Rev. Letters vol. 24, N16, 866(1970). 6 О. М. Иванова, Р. В. Хохлов, С. П. Чернов, "Тезисы докладов УІ Всесоюзной конференции по нелинейной оптике". Минск, 1972. 7 Н. А. Шальникова, И. А. Яковлев, Кристаллография, 1, 531 (1956). В Јерреѕен ЈОЅА 48, 629 (1958) 9 Т. V. Housten, L. F. Johnson. Josa, 53, 1286(1963). 10 І. D. Abella, Н. Z. Gummins, J. of applied physics vol. 32, N 6, 1177(1961). 11 Games P. Wittke. J. of applied physics vol. 33, N7, 2333(1962). 12 А. Л. Микаэлян. В. Г. Савельев, Ю. Г. Турков, Письма ЖЭТФ, 6, 6 (1967). 13 М. К. Бельский, Д. А. Мухамедова, ДАН СССР, 158, 2 (1964).